讨论:子宫平滑肌肉瘤是一种少见的间叶软组织恶性肿瘤,而黏液样平滑肌肉瘤(myxoid leiomyosarcoma,MLMS)是其更为罕见亚型^[1]。MLMS发病机制目前尚未完全明确,现有研究表明涉及遗传、表观遗传及微环境因素等多方面的生物学机制,其中黏液样特征可能与HMGA2基因密切相关^[2]。MLMS常见于绝经期或围绝经期,临床表现缺乏特异性,可表现为腹痛、腹胀、阴道异常出血及尿频等特征^[3]。以往关于MLMS的文献多以个案形式出现,而子宫肌瘤术后复发为MLMS尚未见报道。本文通过介绍1例子宫肌瘤行全子宫切除术后复发为MLMS的罕见病例,以促进临床及影像医生对该病的进一步认识。

查阅相关文献并结合本例MLMS的影像资料,现对MLMS的 MRI影像学特点总结如下: (1)好发部位: 多见干子宫体部或宫 颈,部分报道发现MLMS发生干阴道及胰腺罕见位置[4-5],本例患 者为术后复发为MLMS,肿块与阴道残端的毗邻关系具有一定提 示意义; (2)MRI平扫: T1WI呈等、低信号, T2WI呈稍高、高信 号, 当肿块伴有出血时, 内部可见T1WI高信号和T2WI低信号, 肿块内部流空血管呈T2WI低信号;(3)MRI增强:肿块实性成分呈 渐进性强化特点,时间信号曲线呈平台型,肿块内部多可见迂曲 扩张的血管影,这可能与肿瘤细胞异常增殖激活了血管内皮细胞 活性,从而导致肿瘤血管形成^[6]; (4)MRI功能成像:肿块实性部 分DWI呈明显高信号,对应ADC值减低,而肿块富含黏液区域由 于T2WI穿透效应, DWI及ADC图均呈高信号。本例MLMS需要与 以下疾病相鉴别[7-8]: (1)孤立性纤维性肿瘤: 因胶原纤维细胞与黏 液成分占比不同, T2WI信号多变, 可出现"双相征", 增强扫描 呈"快进慢出"特点,有时可见"地图样"强化特征;(2)脂肪肉 瘤:约30%的脂肪肉瘤可出现钙化,而MLMS很少出现钙化,脂 肪肉瘤DWI信号强度往往低于MLMS。

综上所述,MLMS临床较为罕见,常发生于子宫,而子宫切除术后复发的MLMS将进一步增加诊断难度,临床医生需综合患者以往病程、影像学及病理学信息而作出最为精准的诊断。因MLMS具有高度恶性的特点,手术切除加以辅助放化疗可以有效降低术后复发率,本例患者术后予以多柔比星+异环磷酰胺+美司钠化疗,已随诊5月余,患者目前状态良好。

参考文献

- [1] 张晓燕,徐晨,曲倩倩,等.子宫肉瘤的CT及MRI影像学表现[J].中国CT和MRI杂志,2024,22(6):130-132.
- [2] Davidson B, Skeie-Jensen T, Holth A, et al. Stathmin is an independent prognostic marker of poor outcome in uterine leiomyosarcoma[J]. Int J Gynecol Pathol, 2025, 44(1): 56-66.
- [3] Wu Y, Ying H, Wang J. Myxoid leiomyosarcoma of the uterine cervix: A case report [J]. Asian J Surg, 2023, 46 (9): 3835-3836.
- [4] 王文泽, 梁智勇, 李霁, 等. 胰腺罕见病变的临床病理[J]. 协和医学杂志, 2012, 03(1): 95-101.
- [5] 谢玉海, 范影, 曹莉, 等. MRI诊断阴道巨大黏液性平滑肌肉瘤一例 [J]. 临床放射学杂志, 2018, 37(10): 1749-1750.
- [6] 刘珊妹, 丁玉芹, 陆秀良, 等. 原发性腹膜后平滑肌肉瘤的MRI表现[J]. 实用放射学杂志, 2024, 40(6): 936-939.
- [7] 谢田, 王文斌, 俞祯妮. 头颈部孤立性纤维瘤MR分析及鉴别诊断[J]. 罕少疾病杂志, 2021, 28(6): 12-14.
- [8]李哲,王玮,周建娟,等.手术及放疗后复发的腹膜后去分化脂肪肉瘤一例并文献复习[J]. 罕少疾病杂志, 2024, 31(7): 3-4, 9.

(收稿日期: 2025-02-26) (校对编辑: 翁佳鸿、韩敏求)

• 短篇 •

肾盂肉瘤样癌1例*

田建国1 韩 静2 李国强1,*

- 1.胜利油田中心医院医学影像科
- 2.胜利油田中心医院急诊ICU科 (山东东营 257034)

第一作者:田建国,男,主管技师,主要研究方向:CT及MRI影像学。E-mail:18562082585@163.com通讯作者:李国强,男,主治医师,主要研究方向:腹部影像诊断学。E-mail:sdlgq1989@163.com

【关键词】肾盂肿瘤; 肉瘤样癌; 体层摄影术

【中图分类号】R445 【文献标识码】D

【基金项目】国家临床重点专科基金项目[国卫办医函(2018)292号]

DOI:10.3969/j.issn.1672-5131.2025.10.060

Renal Pelvis Sarcomatoid Carcinoma: a case Report

TIAN Jian-guo¹, HAN Jing², LI Guo-qiang^{*}.

- 1. Department of Radiology, Shengli Oilfield Central Hospital, Dongying 257034, Shandong Province, China
- 2. Department of Emergency ICU, Shengli Oilfield Central Hospital, Dongying 257034, Shandong Province, China

Keywords: Renal Pelvis Tumor; Sarcomatoid Carcinoma; Computed Tomography

患者,男,82岁,间歇性无痛全程肉眼血尿20天入院,查体双肾区无叩击痛,小便浓茶色、无血块,余无阳性体征。入院后尿常规:隐血3+,尿蛋白1+,尿红细胞11446个/l,尿白细胞63个/l。

CT检查:右肾盂内一不规则软组织密度灶,大小2.2cm×1.7cm,边界欠清,病灶密度较均匀,平扫CT值约39HU(图1),增强扫描皮质期CT值约43HU,髓质期CT值约60HU(图2),延迟期CT值约63HU,排泄期肾盂内可见充盈缺损(图3)。全麻下行右肾及右侧输尿管全程切除术,术后常规病理肿物大小约

3.2×2.5×1.8cm,肿瘤细胞大部分呈梭形、局部呈巢团状(图 4),中央伴灶状肿瘤性坏死,肿瘤累及肾实质及肾窦脂肪,未累及肾周脂肪囊,周围淋巴结未查见转移性癌。免疫组织化学:CK广谱(+),INSM1(+),Syn(+),CgA(局灶+),CAM5.2(-),LCA(-),Vimentin(-),CK7(-),CK5/6(-),CD20(-),CD10(-),CK20(-),MUM-1(-),GATA-3(-),P63(-),Bcl-6(-),P53(错义突变型表达),c-Myc(-),Ki-67(90%+),符合肾盂肉瘤样癌的诊断(T1N0M0),由于肿瘤局限于脏器,患者未接受全身化疗及放疗,但术后4个月右肾区及腹膜后复发转移。

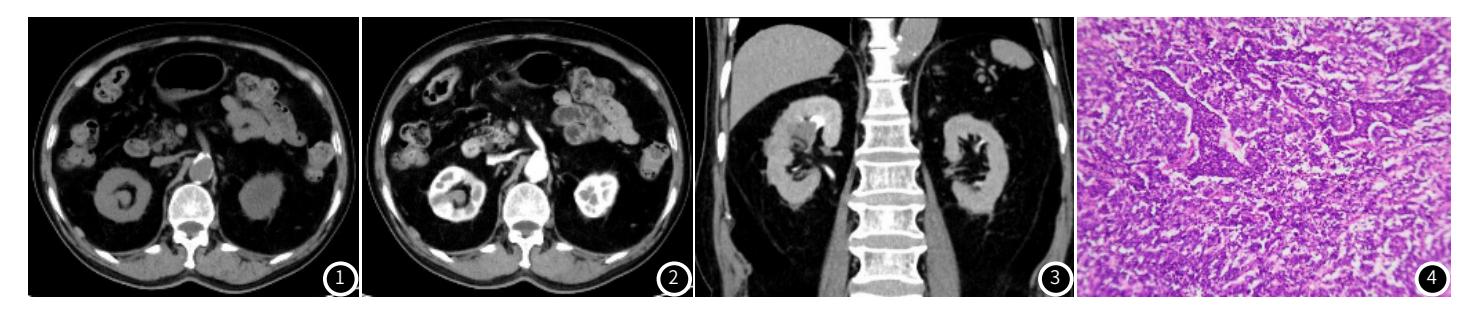


图1 右肾盂内不规则软组织密度灶,边界欠清,密度接近临近肾实质。图2 增强扫描示病灶轻中度强化,强化程度低于肾皮质。 图3 排泄期冠状位肾盂内可见充盈缺损,肾盏扩张积水(红箭)。图4 镜下见大量梭形细胞,部分区域呈巢状,瘤细胞内可见核分裂像,异型性明显(HE×100)。

讨论:肉瘤样癌是一种高级别恶性肿瘤,具有双相显微镜外观,发生于肾盂者非常罕见,检索国内外文献均为个案报道^[1-2],迄今为止我院仅收治1例;目前对于其发病机制尚不清楚,可能与上皮-间充质转化密切相关^[3]。本病发病年龄多为50岁以上中老年人,男性多于女性,大部分患者的主诉是肉眼血尿,其次为腰部疼痛、腹部疼痛等^[4]。肾盂肉瘤样癌恶行程度高、转移发生早,平均生存期<9个月,由于临床及影像表现缺乏特异性,术前几乎不可能做出正确的组织病理学诊断,通常是最后基于组织学模式和术后免疫组织化学诊断而发现^[5]。

早期肾盂肉瘤样癌表现为局限于肾盂内的密度均匀的稍高密度灶,边界不清,排泄期可见肾盂肾盏轻度扩张积水,早期肾盂肉瘤样癌与普通尿路上皮癌鉴别困难^[6-7],但多数肾盂肉瘤样癌在首诊时往往体积较大,浸润位置较深,各期强化程度均低于肾皮质,周围区域淋巴结转移及肾积水较早出现,病灶边界不清及密度不均,边缘多发坏死灶,钙化少见,而普通尿路上皮癌多为中央单一坏死灶,钙化多见^[8],这些影像学特点有助于肾盂肉瘤样癌的诊断。肾盂肉瘤样癌还需与癌肉瘤、肾肉瘤样癌鉴别。肉瘤样癌和癌肉瘤均有上皮和肉瘤样间质两种成分,但肉瘤样癌本员已是一种起源于上皮组织的癌,其肉瘤样成分既可以表达CK,又可以表达EMA等,癌肉瘤多有来源明确的异源性肉瘤成分,其CK表达为阴性,两者免疫组化可以区分开^[9-10]。肉瘤样肾癌表现为浸润性生长的巨大软组织肿块,与肾实质分界不清,但其坏死成分多位于病灶中央且肿瘤血管化丰富,有跳跃式生长的特点^[11],肾盂肉瘤样癌未见这些影像征象报道,可资与肾盂肉瘤样癌鉴别。

肾盂肉瘤样癌罕见,在影像学上缺乏大宗病例报道和特征总结,但当老年患者发现肾盂内以边缘坏死为主的软组织密度肿块 且恶行特征明显及增强扫描强化程度低于肾皮质,有较早的肾积 水及周围淋巴结肿大特点时,应当考虑到肾盂肉瘤样癌的可能。

参考文献

- [1] Yaru C, Hao N, Ke Y, et al. Case report: Sarcomatoid urothelial carcinoma of the renal pelvis masquerading as a renal abscess[J]. Frontiers in Oncology, 2023, 13: 1055229-1055229.
- [2] 刘坤, 董安涛, 黄振宇, 等. 肾盂肉瘤样癌1例报告[J]. 中华泌尿外科杂志, 2023, 44(1): 62-63.
- [3] Chen G, Huihua X, Kai Q, et al. MET alterations in advanced pulmonary sarcomatoid carcinoma [J]. Frontiers in Oncology, 2022, 12: 1017026-1017026.
- [4]Liu T, Yao Y, Geng C, et al. Sarcomatoid renal pelvis carcinoma: experience of treatment at a single-institution. [J]. European Journal of Surgical Oncology, 2024, 50 (6): 108251-108251.
- [5] Guglielmo M, Andrea B, Hilgard A, et al. Clinical and histopathological features of carcinosarcoma of the renal pelvis: a systematic review of a rare tumor[J]. Minerva Urologica e Nefrologica = The Italian Journal of Urology and Nephrology, 2019, 71 (2):121-126.
- [6] 江凯,邓生德,王玉涛,等.肾、肾盂、输尿管原发肉瘤样癌MSCT表现与临床分析(附4例报告)[J]. 医学影像学杂志, 2016, 26(4): 670-673.
- [7] 周继福, 徐玉生, 钟兴, 等. 38例原发性输尿管段移行上皮细胞癌的CT诊断价值[J]. 中国CT和MRI杂志, 2022, 20(11): 130-131.
- [8] 韩引萍, 薛彩强, 刘显旺, 等. 能谱CT参数在膀胱尿路上皮癌术前病理分级预测中的价值[J]. 放射学实践, 2023, 38(01): 65-69.
- [9]赵天一, 林燕蝶, 马妍, 等. 口腔癌肉瘤5例临床病理分析[J]. 诊断病理学杂志, 2023, 30(10): 960-964.
- [10] 郑玉荣, 郭顺林, 辛文龙, 等. 肝脏癌肉瘤1例 [J]. 中国CT和MRI杂志, 2017, 15(1): 151-152.
- [11] 陈颖, 胡春洪, 陈双庆, 等. 肾脏肉瘤样癌的MSCT表现(附4例报告)[J]. 临床放射学志, 2017, 36(10): 1535-1538.

(收稿日期: 2024-07-22) (校对编辑: 翁佳鸿、韩敏求)